基于改进 Gabor 小波算法的智慧教室人脸识别方法研究

王艳华 ¹ WANG Yanhua

摘要

在智慧教室场景中,不同光照条件、姿态变化及个体差异会显著影响图像识别。传统 Gabor 小波算法在滤波器参数设置上往往基于经验,缺乏根据具体图像分辨率或细节程度进行自适应调整的能力。这导致在光照条件多样或人脸姿态多变的情况下,特征提取的稳定性和区分性不足,分类器的识别准确率较低。为此,提出基于改进 Gabor 小波算法的人脸识别方法。设计了一种改进 Gabor 小波算法,通过引入自适应尺度选择机制、光照不变特征提取技术和姿态校正技术,显著增强对光照和姿态变化的鲁棒性。在特征提取前,通过灰度化、去噪和直方图均衡化等预处理步骤,有效提升图像质量。利用改进 Gabor 小波算法从预处理后的图像中提取人脸图像的深层特征,这些特征具有更高的鲁棒性和区分度。最后,构建基于径向基函数(RBF)神经网络的分类器,将特征提取结果输入分类器中,实现对智慧教室中学生人脸的准确识别。通过对比实验证明,该方法相较于现有方法,在识别准确率上有显著提升,为智慧教室中的高效人脸识别提供了一种有效的解决方案。

关键词

改进 Gabor 小波算法; 教室; 识别; 人脸; 智慧

doi: 10.3969/j.issn.1672-9528.2025.07.046

0 引言

智慧教室作为未来教育的重要形态, 其与深度学习算法 的融合正逐渐成为研究与应用的热点。智慧教室旨在为校园 教学及学生学习提供个性化推荐, 使其能够为学生及教师提 供更加智能化、个性化的教学环境。其中,人脸识别技术作 为智慧教室中的一项关键技术,对于实现精准教学、智能考 勤、行为分析等功能具有重要意义。然而,在实际应用中, 由于光照变化、姿态多样、分辨率差异等因素,人脸识别面 临着诸多挑战,这促使相关领域的研究不断深入,如李云红 等人[1]提出了一种基于超分辨重建和公共特征子空间的低分 辨率人脸识别方法。该方法通过超分辨重建技术提高图像的 分辨率, 进而利用公共特征子空间提取人脸特征, 实现低分 辨率人脸的有效识别。尽管该方法在低分辨率环境下取得了 一定的识别效果, 但仍存在不足之处。在该方法中, 公共特 征子空间提取方法通常基于全局统计信息, 无法针对不同光 照、姿态和个体差异进行动态调整。在光照条件多样或姿态 变化较大的情况下, 提取的特征可能缺乏足够的区分度, 导 致识别准确率下降。王海勇等人[2]则研究了一种基于混合自

[基金项目]吉林建筑科技学院科研项目"基于深度学习的个性化推荐方法研究"(校科字(2024)001ZDKJ号)

适应损失函数的人脸识别方法。该方法通过设计一种混合损失函数,结合分类损失和特征距离损失,以优化人脸识别模型的性能。然而,在智慧教室中,由于摄像头分辨率或距离限制,部分图像分辨率较低。固定权重的损失函数难以有效优化低分辨率图像的特征提取,导致特征区分度不足,影响分类器的性能。

针对现有方法的不足,本文提出了一种基于改进 Gabor 小波算法的智慧教室人脸识别方法。

1 改进 Gabor 小波算法设计

智慧教室场景中,人脸识别需要适应不同光照条件、姿态变化以及个体差异。在 Gabor 小波算法中,滤波器的参数设置直接影响特征提取的效果。传统的 Gabor 滤波器参数往往基于经验设定,缺乏自适应性 ^[3]。尤其在光照条件多样和人脸姿态多变的情况下,传统 Gabor 小波算法难以提取稳定且具区分性的特征。针对这一问题,本研究提出改进 Gabor小波算法。改进后的算法通过以下 3 方面进行优化:

(1) 自适应尺度选择机制: 使滤波器能够根据不同人 脸图像的特点自动调整其尺度和方向, 从而更准确地提取特 征。优化后的 Gabor 滤波器参数可以表示为:

$$\psi(x, y; \lambda, \theta, \psi, \sigma, \gamma) = \exp\left(-\frac{x'^2 + \gamma^2 y'^2}{2\sigma^2}\right) \cos\left(2\pi \frac{x'}{\lambda} + \psi\right) \quad (1)$$

^{1.} 吉林建筑科学院 吉林长春 130000

其中:

$$x' = x\cos\theta + y\sin\theta \tag{2}$$

$$y' = x\sin\theta + y\cos\theta \tag{3}$$

式中: x 表示图像像素的水平值; y 表示图像像素的垂直值; λ 表示波长; θ 表示方向; ψ 表示相位偏移; σ 表示高斯函数的标准差; γ 表示空间纵横比。通过调整这些参数,获得更加适应不同人脸图像特征的滤波器。

(2) 光照不变特征提取技术: 这一技术主要包括对数变换和仿射变换两个步骤。对数变换是一种有效的图像增强方法,它可以将图像中的暗区域变得更亮,同时保持亮区域的细节^[4]。对数变换的数学表达式为:

$$I'(x,y) = c \cdot \log(1 + I(x,y)) \tag{4}$$

式中: I(x,y) 表示原始图像的像素值; I'(x,y) 表示对数变换后的像素值; c 表示一个常数,用于调整变换的强度。对数变换可以减小光照变化对图像像素值的影响,使得图像在不同光照条件下具有更加一致的特征分布^[5]。

(3) 姿态校正技术:利用仿射变换将人脸图像调整到标准姿态。仿射变换是一种二维线性变换,用于图像的旋转、缩放和平移等操作。仿射变换的数学表达式为:

$$\begin{bmatrix} x' \\ y' \end{bmatrix} = \begin{bmatrix} a & b \\ c & d \end{bmatrix} \begin{bmatrix} x \\ y \end{bmatrix} + \begin{bmatrix} t_x \\ t_y \end{bmatrix}$$
 (5)

式中: (x, y) 表示原始图像中的像素坐标; (x', y') 表示变换后的像素坐标; a、b、c、d 表示仿射变换的系数; t_x 和 t_y 表示平移量。通过调整这些参数,实现人脸图像的姿态校正 ^[6]。

综上所述,通过结合光照不变特征提取和姿态校正技术, 算法显著增强了对光照和姿态变化的鲁棒性,为后续的特征 提取和识别任务奠定了坚实基础。

2 智慧教室图像预处理

智慧教室环境中存在多种外部干扰,如光照条件变化、摄像头视角差异以及设备自带噪声等,这些因素会显著影响后续特征提取和人脸识别的效果。未经预处理的图像通常存在噪声和光照不均匀等问题,降低了特征提取的准确性^[7]。为此,本研究提出对智慧教室图像进行灰度化和去噪等预处理步骤,以消除或减轻这些干扰因素,显著提升人脸图像质量,使其特征更加清晰。预处理后的图像能够更准确地展现人脸的本质特征,为后续特征提取和人脸识别任务提供更精确和可靠的依据。

灰度化可以简化后续处理步骤,并减少计算量。灰度化的常用方法是将彩色图像的每个像素的 RGB 值按照一定权重进行加权平均,得到灰度值。具体公式为:

Gray
$$(x, y) = 0.299 \cdot R(x, y) + 0.587 \cdot G(x, y) + 0.114 \cdot B(x, y)$$
 (6)

式中: Gray(x, y) 表示灰度图像在坐标 (x, y) 处的像素值; R(x, y)、G(x, y)、B(x, y)分别表示彩色图像在坐标 (x, y) 处的红、绿、蓝三个通道的像素值。去噪是减少图像中噪声干扰的重要步骤。中值滤波是一种非线性滤波方法,具体公式为:

$$Median(x, y) = med\{pixel(x+i, y+j)\}$$
 (7)

式中: Median(x, y) 表示中值滤波后图像在坐标 (x, y) 处的像素值; Pixel(x+i, y+j) 表示原图像在坐标 (x+i, y+j) 处的像素值; med 表示取中值操作; i 和 j 的取值范围取决于滤波窗口的大小。

高斯滤波是一种线性滤波方法,用像素点邻域内各像素值的加权平均来代替该像素点的值,权重由高斯函数确定^[8]。 高斯函数具有中心对称性和平滑性,因此可以有效地去除图像中的高斯噪声。具体公式为:

Gaussian
$$(x, y) = \frac{1}{K} \sum_{i,j} G(i, j) \cdot \text{pixel}(x+i, y+j)$$
 (8)

式中: Gaussian(x, y) 表示高斯滤波后图像在坐标(x, y) 处的像素值; G(i,j) 表示高斯函数在坐标(i, j) 处的值; K 表示高斯函数的归一化因子; Pixel(x+i, y+j) 表示原图像在坐标(x+i, y+j) 处的像素值。

综上所述,通过灰度化、去噪等预处理步骤,有效地提 高智慧教室环境中采集到的人脸图像的质量。

3 基于改进 Gabor 小波算法的特征提取

为进一步进行人脸识别,需要从预处理后的图像中提取出能够表征人脸身份的特征数据。这些特征数据具有高度的唯一性和稳定性,是后续人脸比对和识别的关键。为此,本研究提出采用改进 Gabor 小波算法进行特征提取。改进算法通过优化滤波器的参数设置和引入光照不变特征提取技术,能够减小光照变化对图像像素值的影响,从而提取出更加一致的人脸特征。具体步骤如下:

首先,将预处理后的人脸图像划分为若干个小块;其次,对每个小块应用优化后的 Gabor 滤波器组,得到一组滤波响应;再次,将滤波响应进行下采样和归一化处理,得到特征;最后,将所有小块的特征向量拼接起来,形成最终的人脸特征表示^[9]。在特征提取过程中,利用公式计算 Gabor 滤波器的响应;

$$R(x, y, \lambda, \theta) = I(x, y) * \psi(x, y; \lambda, \theta, 0, \sigma, \gamma)$$
(9)

式中: I(x,y) 表示输入图像; *表示卷积运算。通过计算不同参数下的 Gabor 滤波器响应,能够获得丰富的人脸特征信息,为后续的智慧教室人脸比对和识别提供有力的支持。

4 智慧教室人脸分类识别

改进 Gabor 小波算法在提取人脸特征时,通常会得到高

维数据。这些高维数据包含了丰富的人脸信息,但同时也给传统分类器带来了计算复杂度高、分类效果不佳的挑战。为此,本研究采用了基于径向基函数(RBF)神经网络的分类器进行人脸识别^[10]。RBF 神经网络具有结构简单、收敛速度快、对高维数据适应性强等优点,能够高效处理改进 Gabor小波算法提取的高维特征数据,实现高精度、高效率的人脸识别。RBF 神经网络的输出可以表示为:

$$y = \sum_{i=1}^{N} w_i \exp\left(-\frac{\|x - c_i\|^2}{2\sigma_i^2}\right)$$
 (10)

式中: c_i 表示隐层神经元的中心; σ_i 表示隐层神经元的宽度 参数; w_i 表示隐层到输出层的权重。

通过训练 RBF 神经网络,得到最优的权重和参数,从而实现准确的人脸识别。在智慧教室中,人脸识别技术可以应用于学生考勤、课堂互动等多个场景。通过结合改进 Gabor小波算法和 RBF 神经网络分类器,实现高效、准确的人脸识别功能,为智慧教室的建设和发展提供有力支持。

5 对比实验

5.1 实验环境

本对比实验采用了搭载英特尔 Core i5-11400 处理器、NVIDIA GeForce RTX 3060 Ti 图形处理器以及 8 GB 系统内存的硬件配置。在软件层面,实验依赖于 PyTorch 这一先进的深度学习开源框架,并辅以 PyCharm 2021.1.2 这一强大的集成开发环境以及 Python 3.7 编程语言。图 1 展示了作为人脸识别实验场景的一间典型学校教室环境。



图1 实验环境

为直观验证本文基于改进 Gabor 小波算法的人脸识别方法有效性,将该方法设置为实验组,将基于超分辨重建和公共特征子空间的人脸识别方法设置为对照 A 组,将基于混合自适应损失函数的人脸识别方法设置为对照 B 组。

5.2 实验数据

公开资源数据集: CASIA-WebFace 数据集广泛收集自网络,包含10574位个体的494414张图像,每张图像在角度和光照条件上均展现出多样性。

实验聚焦于 LFW(labeled faces in the wild)数据集,这是一个广受认可的标准测试集,涵盖 5 749 名个体的 13 233

张图像。鉴于 LFW 中的图像均为自然环境下捕捉,不受人 为控制,因此该数据集的人脸图像面临着光照变化、姿态多 样及表情丰富等多重挑战。

自制数据集部分,采集了 365 min 的视频资料。为了捕捉学生自然状态下的多样面貌,每隔 100 帧从教学视频中抽取一帧,并借助 YOLOv5s 模型提取人脸区域。经过仔细筛选,去除面部表情和姿态过于相近的图像后,最终整理出包含 45 名学生、每人 80 张正面肖像的数据集,每张肖像图像分辨率为 112 px×112 px。

在利用本文识别方法进行人脸识别前,将头部姿态数据集中的"看黑板""低头"及"侧脸"3个类别,依据8:2的比例分割为训练集与测试集。所有图像均被统一调整至224 px×224 px 像素的分辨率。训练集与验证集的具体数据分布详情如表1 所示。

表1 训练子集与验证子集数量分布表

序号	标签	训练集 / 张	验证集/张
(1)	Profile	961	241
(2)	Lookup	954	238
(3)	Headdrop	965	241
(4)	总计	2 880	720

在完成训练后,从获取到的监控图像中随机抽取一帧 图像,并对其进行了一系列预处理操作。为了评估预处理对 图像质量的影响,计算了预处理前后图像的结构相似性指数 (SSIM),该指数能够衡量两幅图像在亮度、对比度和结构 信息上的相似性,如图 2 所示。

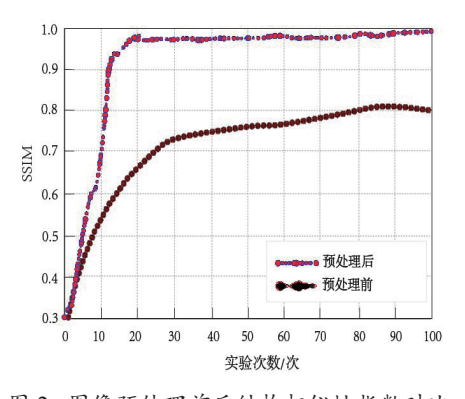


图 2 图像预处理前后结构相似性指数对比

分析图 2 可以看出,通过对比预处理前后的图像,可以 发现,预处理后的图像与原始图像之间的 SSIM 值非常接近 1, 这表明预处理过程对图像的改动较小,且成功地保留了图像 中的重要信息,能够更准确地展现人脸的本质特征,为后续 的人脸识别等任务提供更有利的条件。

5.3 实验结果

利用上述3种方法进行人脸识别,识别内容为学生的头

部姿态。将3种方法绘制成如图3~5所示的识别结果。



图 3 实验组人脸识别结果



图 4 对照 A 组人脸识别结果



图 5 对照 B 组人脸识别结果

在图 3~5 的展示中,正确识别的人脸区域被以实线框标注,而错误识别的区域则以虚线框标记。通过对比图 3 至图 5 的内容,可以明显观察到实验组的识别结果几乎全部被实线框正确标注,相比之下,对照 A 组和对照 B 组中虚线框的数量显著较多,直接反映了识别准确性的差异。据此分析,实验组的识别方法在准确性上展现出了更高的水平。

实验组人脸识别方法之所以表现出色,其优势在于改进 Gabor 小波算法通过优化参数设置,结合了方向性和频率选 择性的增强,能够实现对人脸图像纹理特征的精细提取。这 些深层特征不仅具有更高的鲁棒性,能够抵抗光照变化、噪 声等干扰因素,而且具有更高的区分度,能够更有效地区分 不同的人脸。因此,在特征提取阶段,改进 Gabor 小波算法 为后续的人脸分类识别提供了高质量、高区分度的特征数据, 从而显著提高了识别的准确性。

6 结语

本文提出了一种基于改进 Gabor 小波算法的智慧教室人 脸识别方法,并通过实验验证了其有效性和优越性。该方法 在传统 Gabor 小波算法的基础上,通过引入自适应尺度选择机制、光照不变特征提取技术和姿态校正技术,显著提升了对复杂场景的适应能力。同时,结合灰度化、去噪和直方图均衡化等预处理步骤,进一步优化了图像质量,为特征提取奠定了坚实基础。基于径向基函数(RBF)神经网络的分类器设计,则确保了特征的高效分类与识别。未来,将继续深入研究 Gabor 小波算法在人脸识别中的应用,进一步优化算法参数和流程,提高识别效率和准确性。同时,也将探索将深度学习等先进技术引入人脸识别系统,以实现更加智能化、精准化的识别效果。

参考文献:

- [1] 李云红, 刘杏瑞, 谢蓉蓉, 等. 基于超分辨重建和公共特征 子空间的低分辨率人脸识别[J]. 西北大学学报(自然科学版), 2023, 53(2):241-247.
- [2] 王海勇,潘海涛.基于混合自适应损失函数的人脸识别方法[J]. 计算机科学与探索, 2024, 18(6):1627-1636.
- [3] 沈伍强,张小陆,曾纪钧.基于人脸识别技术的变电检修工作远程许可方法研究[J]. 电测与仪表,2024,61(12):56-62.
- [4] 张立辉. 基于损失函数优化神经网络模型的面罩遮挡人脸识别算法[J]. 工矿自动化, 2024, 50(S01):15-20.
- [5] 张晨晨,王帅,王文一,等.针对人脸识别卷积神经网络的局部背景区域对抗攻击[J].光电工程,2023,50(1):113-125.
- [6] 王奇, 钱伟中, 雷航, 等. 基于关键特征增强机制的 3D 人 脸识别 [J]. 电子科技大学学报, 2024, 53(2):252-258.
- [7] 赵骁, 陈勇, 李一洋. 基于超分辨率重建的低分辨率人脸识别[J]. 火力与指挥控制, 2024, 49(3):151-155.
- [8] 李小薪, 丁伟杰, 方怡, 等. 基于图像深度先验和鲁棒马尔可夫随机场的有遮挡人脸识别[J]. 计算机科学, 2024, 51(7):244-256.
- [9] 陈侃松,郑园,许立君,等.基于 ThetaMEX 全局池化的 人脸识别神经网络: ShuffaceNet[J]. 计算机应用, 2023, 43(8):2572-2580.
- [10] 李明, 党青霞. 融合 Transformer 和 CNN 的轻量级人脸识别算法 [J]. 计算机工程与应用, 2024, 60(14):96-104.

【作者简介】

王艳华(1981—),女,吉林长春人,硕士,教师、工程师、助理研究员,研究方向:生成式人工智能、大数据分析、计算机科学与技术。

(收稿日期: 2025-02-18 修回日期: 2025-07-10)